

# ALA-PDT 诱导 SW480 细胞凋亡和胞内 $Ca^{2+}$ 浓度变化的关系

郑江华, 时德, 陈祖林

郑江华, 时德, 重庆医科大学附属第一医院血管外科 重庆市 400016  
陈祖林, 第三军医大学新桥医院普外科 重庆市 400037  
郑江华, 男, 1975-12-23生, 四川省广安市人, 汉族, 博士研究生, 主要从事血管外科及肿瘤综合治疗的临床与基础研究。  
国家自然科学基金资助项目, No. 30271481  
通讯作者: 陈祖林, 400037, 重庆市, 重庆市第三军医大学新桥医院普外科。  
chenzulin@163.com  
电话: 023-68774405 传真: 023-68774605  
收稿日期: 2005-09-20 接受日期: 2005-10-19

## Relationship between intracellular $Ca^{2+}$ and ALA-PDT induced apoptosis in SW480 cells

Jiang-Hua Zheng, De Shi, Zu-Lin Chen

Jiang-Hua Zheng, De Shi, Department of Vascular Surgery, the First Affiliated Hospital of Chongqing University of Medical Sciences, Chongqing 400016, China  
Zu-Lin Chen, Department of General Surgery, Xinqiao Hospital, the Third Military Medical University, Chongqing 400037, China  
Supported by National Natural Science Foundation of China, No. 30271481

Correspondence to: Dr. Zu-Lin Chen, Department of General Surgery, Xinqiao Hospital, the Third Military Medical University, Chongqing 400037, China. chenzulin@163.com  
Received: 2005-09-20 Accepted: 2005-10-19

## Abstract

**AIM:** To investigate relationship between intracellular  $Ca^{2+}$  and apoptosis induced by aminolaevulinic acid-photodynamic therapy (ALA-PDT) in SW480 cells.

**METHODS:** SW480 cells were divided into control, light, ALA and ALA-PDT group. The corresponding treatment was performed in each group. The apoptosis of SW480 cells was detected by DNA fragment assay and TUNEL assay. The changes of intracellular  $Ca^{2+}$  concentration in each group were observed by confocal laser scanning microscopy.

**RESULTS:** DNA ladder formation of apoptotic features was demonstrated 1 and 2 h after ALA-PDT treatment. The apoptosis index (AI) of 30 and 60 min after ALA-PDT treatment was  $25.26 \pm 5.04\%$  and  $50.45 \pm 7.85\%$ , respectively, which were significantly higher than those in the other 3 groups (all AI  $< 10\%$ ,  $P < 0.01$ ). The concentration of intracellular  $Ca^{2+}$  20 min after ALA-PDT treatment was markedly increased

than that at 10 min (fluorescent intensity:  $185.40 \pm 18.90$  vs  $100.00 \pm 19.83$ ,  $P < 0.01$ ), and then gradually decreased. However, the concentrations of intracellular  $Ca^{2+}$  had no significant changes in the other 3 groups.

**CONCLUSION:** The increases of intracellular  $Ca^{2+}$  may play an important role in the ALA-PDT-induced apoptosis in SW480 cells.

**Key Words:** Aminolaevulinic acid; Photodynamic therapy; SW480 cell; Intracellular  $Ca^{2+}$ ; Apoptosis

Zheng JH, Shi D, Chen ZL. Relationship between intracellular  $Ca^{2+}$  and ALA-PDT induced apoptosis in SW480 cells. *Shijie Huaren Xiaohua Zazhi* 2005;13(24):2828-2832

## 摘要

**目的:** 探讨ALA-PDT诱导人结肠癌细胞SW480凋亡和游离钙浓度变化关系。

**方法:** 将SW480细胞分为四组: 空白对照组、激光照射组、ALA组和ALA-PDT组, 用DNA片段分析和TUNEL法检测细胞凋亡; 用激光共聚焦显微镜观测各组细胞内游离钙离子浓度的变化。

**结果:** ALA-PDT组的人结肠癌细胞在1、2 h有大量的DNA片段, TUNEL法显示ALA-PDT组的人结肠癌细胞在PDT后30 min AI为 $25.26 \pm 5.04\%$ , PDT后60 min AI为 $50.45\% \pm 7.85\%$ , 均高于其他3组 (AI均 $< 10\%$ ,  $P < 0.01$ ); 激光共聚焦结果为ALA-PDT组细胞内游离钙离子浓度在20 min达高峰 (荧光强度:  $185.40 \pm 18.90$ ), 与10 min (荧光强度:  $100.00 \pm 19.83$ ) 相比有显著差异 ( $P < 0.01$ ), 之后又逐渐下降。

**结论:** 细胞内 $Ca^{2+}$ 浓度的逐渐增加在PDT诱导的细胞凋亡过程中可能起着重要作用。

**关键词:**  $\delta$ 氨基酮戊酸; 光动力疗法; SW480细胞; 细胞内游离钙; 凋亡

郑江华, 时德, 陈祖林. ALA-PDT 诱导 SW480 细胞凋亡和胞内  $Ca^{2+}$  浓度变化的关系. *世界华人消化杂志* 2005;13(24):2828-2832  
<http://www.wjgnet.com/1009-3079/17/2828.asp>

## 0 引言

$\delta$  氨基酮戊酸 (aminolaevulinic acid, ALA)-光动力疗法 (photodynamic therapy, PDT) 是指ALA诱导肿瘤细胞产生原卟啉IX (protoporphyrin, Pp IX), Pp IX 接受光照后在细胞内产生活性氧物质, 而导致肿瘤细胞凋亡或坏死的一种治疗方法, 又称为内源性光动力疗法<sup>[1]</sup>. ALA 代谢快, 毒副作用小, 是一种很有前途的治疗肿瘤的方法<sup>[2]</sup>. 细胞分子生物学的发展促进了PDT诱导细胞死亡机制的研究, 1991年, Agarwal *et al*首次证实了PDT能通过诱导细胞凋亡导致小鼠L5178细胞死亡, 自此, PDT诱导许多不同细胞系细胞发生凋亡等到了证实<sup>[3-6]</sup>. 我们探讨ALA-PDT诱导SW480发生细胞凋亡期间细胞内 $Ca^{2+}$ 浓度变化, 分析其作用机制.

## 1 材料和方法

1.1 材料 ALA(Sigma公司); 培养液RPMI1640(Hyclone公司); D-Hanks(Hyclone公司); Hepes(Sigma公司); 胰蛋白酶(北京鼎国生物技术公司); 小牛血清 (成都哈里公司); TUNEL试剂盒 (Roche公司); Fluo-3/AM(Sigma公司); SW480(第四军医大学动物实验中心提供).

### 1.2 方法

1.2.1 PDT处理<sup>[7]</sup> 用含有青霉素和链霉素 (分别100 kU/L) 和100 mL/L小牛血清的RPM1640培养基培养人结肠癌细胞 (SW480), 37 °C, 50 mL/L  $CO_2$ , 饱和湿度, 单层贴壁生长. 实验分为4组: 空白对照组, 激光照射组, ALA组及ALA-PDT组. 光敏剂ALA用PBS配制成400 mg/L的储存液, 过滤待用, 工作液用无血清培养基稀释为40 mg/L (终浓度). ALA组和ALA-PDT处理组在暗室按预定时间加入ALA, 严格避光条件下继续孵育4 h, 激光照射组和ALA-PDT处理组使用半导体激光器 (西南师范大学激光所, 波长532 nm, 距光斑3 cm处输出功率12 mw)垂直照射培养板30 min. 空白对照组不加ALA且不受激光照射, ALA组加入ALA不受激光照射.

1.2.2 DNA片断分析 SW480细胞 ( $2-6 \times 10^9/L$ )经ALA-PDT作用0、1、2 h后收获细胞, PBS(pH7.4)洗2遍, 沉淀加入50  $\mu$ L细胞裂解液 (10 mmol/L Tris-HCl, 10 mmol/L NaCl, 10 mmol/L EDTA, 10 g/L SDS pH8.0) 和终浓度为0.5 g/L的蛋白酶K, 50 °C水浴2 h, 5 000 r/min离心10 min, 上清移入新Eppendorf管, 以等体积的苯酚/氯仿(1:1)、苯酚/氯仿/异丙醇 (25:24:1) 和氯仿各抽提1次, 取上层水相加1/10体积3 mol/L醋酸钠 (NaAc)、2倍体积冷无水乙醇, 颠倒混匀, 置 -20 °C 30 min, 13 000 g离心10 min, 烘干乙醇和NaAc, 沉淀加20  $\mu$ L TE缓冲液 (50 mmol/L Tris-HCl, 10 mmol/L EDTA) 溶解, 加RNase A(200 mg/L)于37 °C 1 h, 取20  $\mu$ L样品加6 $\times$ 上样缓冲液4  $\mu$ L混合上样, 另取一道加入DNA

Marker, 15 g/L琼脂糖凝胶电泳 (凝胶含0.5 mg/L EB), 紫外灯下观察并摄影.

1.2.3 末端标记法(TUNEL)检测细胞凋亡<sup>[8]</sup> 采用盖玻片培养法, 取对数生长细胞 $1 \times 10^8/L$ , 接种到含有高压灭菌盖玻片 (22 mm $\times$ 22 mm, 100 g/L多聚赖氨酸处理)的6孔培养板中, 48 h后行ALA-PDT处理, 分别在PDT后30 min和60 min后, 取出盖玻片, 用PBS冲洗3次, 16 g/L多聚甲醛固定30 min, 其余步骤按试剂盒说明进行, 光镜下分别计数明显的5个高倍视野内的凋亡细胞数和细胞总数, 计算凋亡指数 (apoptosis index, AI). AI=凋亡细胞数/细胞总数 $\times$ 100%.

1.2.4 激光共聚焦显微镜动态观察<sup>[9]</sup> 取对数生长细胞 $1 \times 10^8/L$ , 接种到含有高压灭菌盖玻片 (22 mm $\times$ 22 mm, 100 g/L多聚赖氨酸处理)的6孔培养板中, 孵育48 h后, 用D-Hanks液漂洗3次, PDT处理后, 各组细胞均用 D-Hanks液漂洗三次, 用终浓度4.4  $\mu$ m/L的Fluo-3/AM溶液于37 °C避光条件下染色30 min, D-Hanks液漂洗3次, 最后再用D-Hanks液酯化15 min, 激光照射后, 将盖玻片置于激光共聚焦显微镜载物台上, 选择激发波长488 nm、发射波长526 nm, 动态观察各组细胞的荧光强度, 每5 min扫描1次, 共60 min. 因为Fluo-3/AM与细胞内游离钙离子结合显示荧光, 其荧光强度与所结合的Fluo-3/AM细胞内游离钙离子浓度成正比, 所以测得的荧光强度可作为反映细胞内游离钙离子浓度的指标.

统计学处理 数据以mean $\pm$ SD表示, 显著性检验采用 $\chi^2$ 检验, 采用SPSS10.0统计软件进行数据处理.

## 2 结果

2.1 DNA片断分析 SW480细胞经ALA-PDT分别处理1、2 h后可见明显的DNA梯形条带 (DNA ladder), PDT即刻、激光照射组、空白对照组以及ALA组未见DNA梯形条带 (图1).

2.2 TUNEL分析 光镜下阳性细胞明显皱缩, 呈圆形, 核

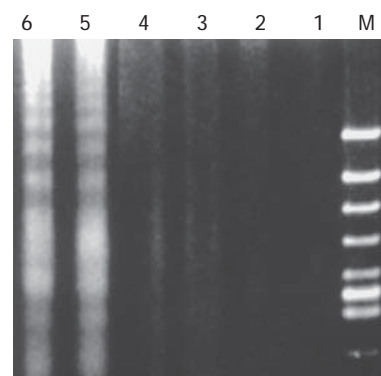


图1 DNA片断分析. M: Marker; 1: 空白对照组; 2: 激光照射组; 3: ALA组; 4: ALA-PDT后即刻; 5: ALA-PDT后1 h; 6: ALA-PDT后2 h.

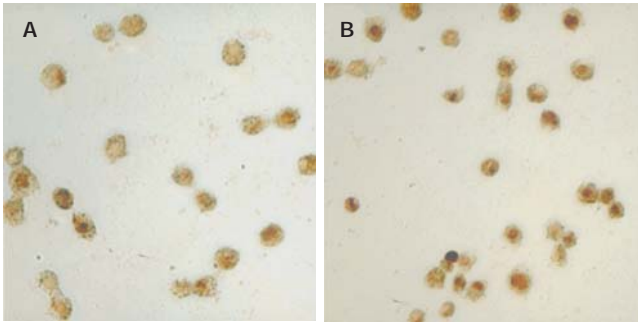


图2 ALA-PDT诱导SW480细胞凋亡分析. A: 30 min; B: 60 min.

染色质致密, 染成棕色. ALA-PDT后细胞有明显凋亡, PDT后30 min AI为25.26+5.04%, PDT后60 min AI为50.45+7.85%, 其余各组, 包括激光照射组, 空白对照组以及ALA组AI均<10%, 有显著差异 ( $P<0.01$ , 图2).

2.3 激光共聚焦显微镜动态观察 激光共聚焦显微镜动态观察到ALA-PDT后20 min达高峰, 之后又逐渐下降, 经激光共聚焦显微镜专用数据分析软件(powerphys)分析(图3)可知PDT后10 min时荧光强度为100.00+19.83, 而20 min时达185.40+18.90 ( $P<0.01$ ). 而空白对照组、单独激光照射组、ALA组细胞内钙无明显变化(图4).

### 3 讨论

PDT作用过程中, 光敏剂特异聚集在肿瘤细胞或组织

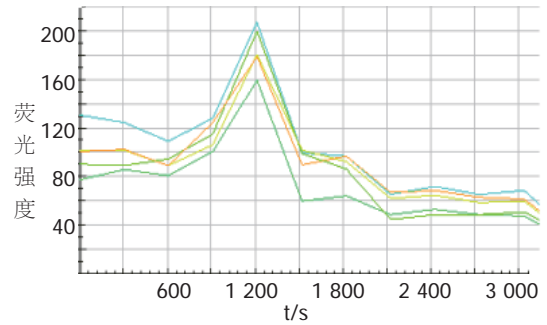


图3 SW480细胞内游离钙浓度变化曲线图.

中, 在适当波长(通常是红光或近紫外光或与光敏剂的吸光谱相近的光)的光照下, 光敏剂吸收特定波长的光后, 转变为激发三重态光敏剂, 此三重态光敏剂可经I或II型反应型反应, 产生光敏剂的自由基离子或单线态氧, 自由基离子进一步与周围的氧反应生成氧化产物; 单线态氧是一种高反应性物质, 能与脂肪酸、蛋白质及核酸等物质反应而产生损伤效应, 最终导致细胞凋亡或死亡<sup>[10]</sup>. 由于PDT处理的细胞可见膜去极化<sup>[11-13]</sup>, 细胞内 $K^+$ 外流,  $Na^+-K^+$ 依赖式ATP酶抑制<sup>[14]</sup>, 因此PDT诱导细胞凋亡主要靶点可能细胞膜<sup>[15-18]</sup>. 有作者认为位于细胞膜上的磷脂酶 $A_2$  (PLA<sub>2</sub>) 和磷脂酶C(PLC)的激活是PDT诱导细胞凋亡的早期机制, 理由是 $Ca^{2+}$ 作为细胞信号的第二信使受大量刺激因素的影响, 并与PLA<sub>2</sub>和PLC激活有关<sup>[19]</sup>. 激活的PLC水解磷

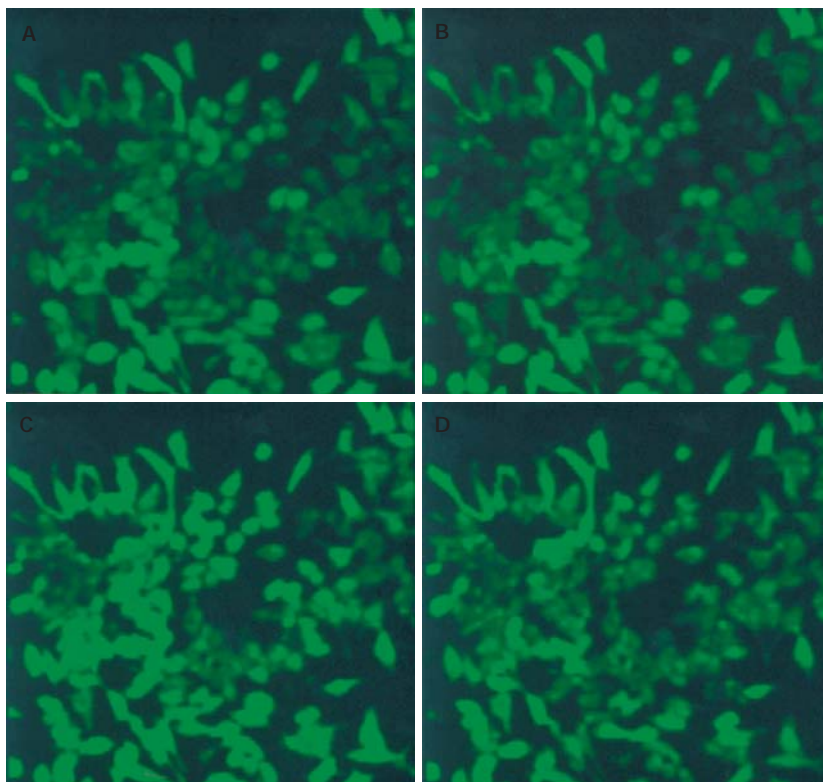


图4 PDT后SW480细胞的激光共聚焦显微镜扫描图. A: 10 min; B: 15 min; C: 20 min; D: 25 min.

脂酰肌醇-4,5-二磷酸 ( $\text{PIP}_2$ ) 产生三磷酸肌醇 ( $\text{IP}_3$ ) 和二酰甘油 (DG),  $\text{IP}_3$  促进细胞内  $\text{Ca}^{2+}$  浓度增加, DG 激活蛋白激酶 C (PKC), 从而分别形成  $\text{IP}_3/\text{Ca}^{2+}$  和 DG/PKC 信号传递途径<sup>[20-22]</sup>. 在  $\text{IP}_3/\text{Ca}^{2+}$  途径中,  $\text{Ca}^{2+}$  与钙调蛋白 (CaM) 结合激活 calcineurin (CN), 由 CN 将磷酸化的 NF-AT (nuclear factor of activated T cell) 脱磷酸<sup>[23]</sup>, NF-AT 因而进入核内, 并与转录因子 AP-1 (activator protein-1) 结合, 从而诱导 IL-2 基因转录<sup>[24-26]</sup>. 因此, 本实验的目的是探讨 PDT 后细胞早期凋亡和细胞内钙浓度的关系.

在我们的实验中, DNA 断裂片段出现在 PDT 后 1-2 h, 凋亡形态学 (TUNEL) 结果显示: PDT 后 20 min AI 为 25.26±5.04%, PDT 后 40 min AI 为 50.45±7.85%, 在其他细胞系, PDT 后细胞早期也发生凋亡, Kuzalova *et al*<sup>[27]</sup> 用 ALA-PDT 处理 K562 细胞, 发现 2 h 后细胞出现凋亡特征. 另外, 激光共聚焦显微镜动态观察结果表明 PDT 后 10 min 时荧光强度为 100.00±19.83, 之后逐渐增加, 20 min 时达 185.40±18.90, 之后又逐渐下降, 30 min 后继续降至基线水平以下, 而空白对照组、激光照射组以及 ALA 组细胞内钙无明显变化, 在实验过程中, 采用 D-hanks 液平衡 SW480 细胞, 避开细胞外钙离子内流途径, 说明 ALA-PDT 对 SW480 细胞内的钙库有促进其开放的作用, 从而引起细胞内钙离子浓度升高; 30 min 后游离钙继续降至基线水平以下可能是由于 ALA-PDT 后细胞质膜系统受到破坏, 细胞内钙离子流向细胞外造成的. Tajiri *et al*<sup>[28]</sup> 用卟菲尔钠 (porfimer sodium)-PDT 处理人鳞状细胞癌 HSC-2, 发现细胞内钙离子在 PDT 后 2 h 达高峰. Zhou *et al*<sup>[29]</sup> 用竹红菌素 A-PDT 处理人胃癌细胞 MGC803, 结果表明细胞内钙离子浓度在 PDT 后 60 s 达高峰. 造成实验结果不一致的原因可能是由于光敏剂、细胞类型、光照剂量以及观察时间不同<sup>[30]</sup>. PDT 后 20 min, 细胞出现凋亡, 而 PDT 后 10-20 min 细胞内  $\text{Ca}^{2+}$  浓度逐渐增加, 20 min 达高峰, 提示了细胞内  $\text{Ca}^{2+}$  浓度的逐渐增加在 PDT 诱导的细胞凋亡过程中可能起重要作用, 达高峰时立即引起 PDT 诱导细胞凋亡. 为了证实 ALA-PDT 诱导 SW480 细胞凋亡中是否存在  $\text{IP}_3/\text{Ca}^{2+}$  信号传递途径, 有必要对 CaM, CN, NF-AT 以及 AP-1 等蛋白表达进一步研究.

#### 4 参考文献

- Sibata CH, Colussi VC, Oleinick NL, Kinsella TJ. Photodynamic therapy in oncology. *Expert Opin Pharmacother* 2001; 2: 917-927
- Haddad R, Kaplan O, Greenberg R, Siegal A, Skornick Y, Kashtan H. Photodynamic therapy of murine colon cancer and melanoma using systemic aminolevulinic acid as a photosensitizer. *Int J Surg Investig* 2000; 2: 171-178
- Almeida RD, Manadas BJ, Carvalho AP, Duarte CB. Intracellular signaling mechanisms in photodynamic therapy. *Biochim Biophys Acta* 2004; 1704: 59-86
- Saczko J, Kulbacka J, Chwilkowska A, Drag-Zalesiniska M, Wysocka T, Lugowski M, Banas T. The influence of

- photodynamic therapy on apoptosis in human melanoma cell line. *Folia Histochem Cytobiol* 2005; 43: 129-132
- Sarissky M, Lavicka J, Kocanova S, Sulla I, Mirossay A, Miskovsky P, Gajdos M, Mojzic J, Mirossay L. Diazepam enhances hypericin-induced phototoxicity and apoptosis in human glioblastoma cells. *Neoplasma* 2005; 52: 352-359
- Huang HF, Chen YZ, Wu Y. ZnPcS2P2-based photodynamic therapy induces mitochondria-dependent apoptosis in K562 cells. *Acta Biochim Biophys Sin* 2005; 37: 488-494
- Tsai T, Hong RL, Tsai JC, Lou PJ, Ling IF, Chen CT. Effect of 5-aminolevulinic acid-mediated photodynamic therapy on MCF-7 and MCF-7/ADR cells. *Lasers Surg Med* 2004; 34: 62-72
- Houston A, Waldron-Lynch FD, Bennett MW, Roche D, O'Sullivan GC, Shanahan F, O'Connell J. Fas ligand expressed in colon cancer is not associated with increased apoptosis of tumor cells in vivo. *Int J Cancer* 2003; 107: 209-214
- Kai L, Wang ZF, Shi YL, Liu LM, Hu DY. Opioid receptor antagonists increase  $[\text{Ca}^{2+}]_i$  in rat arterial smooth muscle cells in hemorrhagic shock. *Acta Pharmacol Sin* 2004; 25: 395-400
- Niedre M, Patterson MS, Wilson BC. Direct near-infrared luminescence detection of singlet oxygen generated by photodynamic therapy in cells in vitro and tissues in vivo. *Photochem Photobiol* 2002; 75: 382-391
- Marchal S, Bezdetnaya L, Guillemin F. Modality of cell death induced by Foscan-based photodynamic treatment in human colon adenocarcinoma cell line HT29. *Biochemistry* 2004; 69: 45-49
- Teiten MH, Marchal S, D'Hallewin MA, Guillemin F, Bezdetnaya L. Primary photodamage sites and mitochondrial events after Foscan photosensitization of MCF-7 human breast cancer cells. *Photochem Photobiol* 2003; 78: 9-14
- Dolgachev V, Nagy B, Taffe B, Hanada K, Separovic D. Reactive oxygen species generation is independent of de novo sphingolipids in apoptotic photosensitized cells. *Exp Cell Res* 2003; 288: 425-436
- Ben-Hur E, Dubbelman TM, Van Steveninck . Effect of fluoride on inhibition of plasma membrane functions in Chinese hamster ovary cells photosensitized by aluminum phthalocyanine. *Radiat Res* 1992; 131: 47-52
- Uzdensky A, Juzeniene A, Ma LW, Moan J. Photodynamic inhibition of enzymatic detachment of human cancer cells from a substratum. *Biochim Biophys Acta* 2004; 1670: 1-11
- Sharma M, Bansal H, Gupta PK. Photodynamic action of merocyanine 540 on carcinoma of cervix cells. *Indian J Exp Biol* 2002; 40: 252-257
- Lam M, Oleinick NL, Nieminen AL. Photodynamic therapy-induced apoptosis in epidermoid carcinoma cells. Reactive oxygen species and mitochondrial inner membrane permeabilization. *J Biol Chem* 2001; 276: 47379-47386
- Kriska T, Korytowski W, Girotti AW. Hyperresistance to photosensitized lipid peroxidation and apoptotic killing in 5-aminolevulinic acid-treated tumor cells overexpressing mitochondrial GPX4. *Free Radic Biol Med* 2002; 33: 1389-1402
- Molgo J, Colasantei C, Adams DS, Jaimovich E.  $\text{IP}_3$  receptors and  $\text{Ca}^{2+}$  signals in adult skeletal muscle satellite cells *in situ*. *Biol Res* 2004; 37: 635-639
- Hanson CJ, Bootman MD, Roderick HL. Cell signalling:  $\text{IP}_3$  receptors channel calcium into cell death. *Curr Biol* 2004; 14: R933-R935
- van Dijk M, Muriana FJ, van Der Hoeven PC, de Widt J, Schaap D, Moolenaar WH, van Blitterswijk WJ. Diacylglycerol generated by exogenous phospholipase C activates the mitogen-activated protein kinase pathway independent of Ras- and phorbol ester-sensitive protein kinase C: dependence on protein kinase C-zeta. *Biochem J* 1997; 323: 693-699
- Jiang G, Wei Q. Function and structure of N-terminal and C-terminal domains of calcineurin B subunit. *Biol Chem* 2003; 384: 1299-1303
- Sancho R, Macho A, de La Vega L, Calzado MA, Fiebich BL, Appendino G, Munoz E. Immunosuppressive activity of endovanilloids: N-arachidonoyl-dopamine inhibits activation

- of the NF-kappa B, NFAT, and activator protein 1 signaling pathways. *J Immunol* 2004; 172: 2341-2351
- 24 Faubert Kaplan BL, Kaminski NE. Cannabinoids inhibit the activation of ERK MAPK in PMA/Io-stimulated mouse splenocytes. *Int Immunopharmacol* 2003; 3: 1503-1510
- 25 He KL, Ting AT. Essential role for IKKgamma/NEMO in TCR-induced IL-2 expression in Jurkat T cells. *Eur J Immunol* 2003; 33: 1917-1924
- 26 Agarwal ML, Larkin HE, Zaidi SI, Mukhtar H, Oleinick NL. Phospholipase activation triggers apoptosis in photosensitized mouse lymphoma. *Cancer Res* 1993; 53: 5897-5902
- 27 Kuzalova K, Grebenova D, Pluskanova M, Marinov I, Hrkal Z. Early apoptotic features of K562 cell death induced by 5-aminolaevulinic acid-based photodynamic therapy. *Photochem Photobiol* 2004; 73: 67-78
- 28 Tajiri H, Hayakawa A, Matsumoto Y, Yokoyama I, Yoshida S. Changes in intracellular Ca<sup>2+</sup> concentrations related to PDT-induced apoptosis in photosensitized human cancer cell. *Cancer Lett* 1998; 128: 205-210
- 29 Zhou ZH, Yang HG, Zhang ZY. Role of calcium in phototoxicity of 2-butylamino-2-demethoxy-hypocrellin A to human gastric cancer MGC-803. *Biochim Biophys Acta* 2003; 1593: 191-200
- 30 Wyld L, Reed MW, Brown NJ. Differential cell death response to photodynamic therapy is dependent on dose and cell type. *Br J Cancer* 2001; 84: 1384-1386

电编 张勇 编辑 潘伯荣 审读 张海宁

ISSN 1009-3079 CN 14-1260/R 2005年版权归世界胃肠病学杂志社

•消息•

## 首届北京地坛感染病学术会议

**本刊讯** 为庆祝建院60周年,北京地坛医院决定于2006-03-02/04在北京召开全国性的"首届北京地坛感染病学术会议",预计全国的同行500人参加这次重要的会议.会议邀请了40余位我国德高望重、年富力强的感染病专家作专题学术讲演.

### 1 会议征稿内容

这次感染病学术会议征文的内容包括病毒性肝炎、HIV/AIDS、各种传染性疾病和感染性疾病,抗生素的合理使用,也包括新发/复燃的传染病.论文全文和摘要请发到电子信箱: [cj@genetherapy.com.cn](mailto:cj@genetherapy.com.cn); 或 [hy@genetherapy.com.cn](mailto:hy@genetherapy.com.cn).

### 2 与会专家名单

首届北京地坛感染病学术会议邀请的专题报告专家(按照汉语拼音排序)有:白雪帆,陈智,陈志海,成军,段钟平,窦晓光,范小玲,高志良,郭利民,侯金林,贾继东,郎振为,李长青,李兰娟,李太生,李兴旺,刘沛,刘庄,伦文辉,毛羽,缪晓辉,穆毅,宁琴,牛俊奇,任红,施光峰,斯崇文,谭德明,唐红,唐小平,万谟彬,王风水,王福生,王贵强,王磊,王玲,王宇明,王宪波,魏红山,魏来,翁心华,谢青,谢雯,谢尧,邢卉春,徐道振,杨东亮,杨钧,袁正宏,赵红心,庄辉

### 3 联系方式

首届北京地坛感染病学术会议组织委员会主席为成军教授.地址:北京市东城区安外大街地坛公园13号,邮编:100011;电话:010-64481639;传真:010-64481639. Email: [cj@genetherapy.com.cn](mailto:cj@genetherapy.com.cn)

欢迎全国感染病学界的各位专家和同仁来北京参加这次盛会.